

Chapter 17 Green's functions and phonons

在这一章中, 我们将格林函数方法应用到自由声子和电声相互作用之中. 讨论的出发点是第三章中展示的声子问题的二次量子化形式, 尤其是玻色声子产生和湮灭算符 $b_{-\mathbf{q},\lambda}^\dagger$ 和 $b_{\mathbf{q},\lambda}$ 的引入(见式 (3.10) 和 (3.22)), 它们出现在凝胶声子哈密顿量 (3.4) 和晶格声子哈密顿量 (3.23).

本章的主要内容

- 首先, 我们对凝胶模型和晶格模型中的自由声子格林函数进行定义和研究.
- 然后, 将格林函数方法应用到电声相互作用问题之中. 在电子-电子相互作用和电声相互作用同时存在的情况下, 我们导出了单电子格林函数(one-electron Green's function).
- 在考虑电声相互作用之后, 自由声子凝胶模型中的高频的Einstein声子是如何重整化为通常的低频声学声子的? 这是3.2 Electron-phonon interaction and the sound velocity节中遗留的问题.
- 最后, 我们证明了所谓电子气体的Cooper不稳定性的存在, 声子诱导的不稳定性是超导电性的起源.

Contents

- 17.1 自由声子格林函数
- 17.2 电声相互作用和费曼图
- 17.3 Combining Coulomb and electron-phonon interactions

Summary and outlook

In this chapter we have presented the Green's function formalism and established the Feynman diagram rules for the free phonon system and for the electron-phonon coupling.

One important example concerned the renormalization of the phonon frequencies once the electron-phonon interaction was taking into account. The dispersion-less frequency

$$\Omega_{\mathbf{q}} = \Omega = \sqrt{\frac{Z^2 e^2 N}{\epsilon_0 M \mathcal{V}}},$$

of the non-interacting jellium phonons was changed into the linear phonon dispersion

$$\omega_{\mathbf{q}}(q \rightarrow 0, 0) = \sqrt{\frac{Ze^2 \rho_{\text{el}}^0}{k_s^2 \epsilon_0}} q$$

for acoustic phonons in the long-wave limit.

A main result was to demonstrate the existence of the Cooper instability in the electron gas due to electron-phonon interaction. This instability forms the starting point of the BCS theory of ordinary superconductivity, which is the topic of the following chapter.

17.1 自由声子格林函数

声子算符的定义

从式(3.41)中的 $H_{\text{el-ph}}^{\text{INA}}$ 和式(3.43)中的 $H_{\text{el-ph}}^{\text{jel}}$ 这些描述电声相互作用的哈密顿量可以看出, 相关的声子算符从来不是单独的声子产生和湮灭算符, 而是算符 $A_{\mathbf{q}\lambda}$ 和 $A_{\mathbf{q}\lambda}^\dagger$, 它们是由互为负频率的产生湮灭算符加和而成的

⑨(17.1)

$$A_{\mathbf{q}\lambda} \equiv (b_{\mathbf{q}\lambda} + b_{-\mathbf{q}\lambda}^\dagger), \quad A_{\mathbf{q}\lambda}^\dagger \equiv (b_{\mathbf{q}\lambda}^\dagger + b_{-\mathbf{q}\lambda}) = A_{-\mathbf{q}\lambda}.$$

- 如果我们不限制动量的正负的话, 这两套算符实际上是线性相关的, 因此两者的对易关系也是零,

$$[A_{\mathbf{q}\lambda}, A_{\mathbf{q}\lambda}^\dagger] = [b_{\mathbf{q}\lambda} + b_{-\mathbf{q}\lambda}^\dagger, b_{\mathbf{q}\lambda}^\dagger + b_{-\mathbf{q}\lambda}] = [b_{\mathbf{q}\lambda}, b_{\mathbf{q}\lambda}^\dagger] + [b_{-\mathbf{q}\lambda}^\dagger, b_{-\mathbf{q}\lambda}]$$

- 声子算符 $A_{\mathbf{q}\lambda}$ 从声子系统中移除一个动量 \mathbf{q} , 要么通过湮灭一个动量 \mathbf{q} 的声子, 要么通过产生一个动量 $-\mathbf{q}$ 的声子.

在这些预置条件下, 无相互作用声子是由 H_{ph} 和电声相互作用 $H_{\text{el-ph}}$ 给出的:

⑨(17.2a)

$$H_{\text{ph}} = \sum_{\mathbf{q}\lambda} \Omega_{\mathbf{q}\lambda} \left(b_{\mathbf{q}\lambda}^\dagger b_{\mathbf{q}\lambda} + \frac{1}{2} \right),$$

⑨(17.2b)

$$H_{\text{el-ph}} = \frac{1}{\mathcal{V}} \sum_{\mathbf{k}\sigma} \sum_{\mathbf{q}\lambda} g_{\mathbf{q}\lambda} c_{\mathbf{k}+\mathbf{q},\sigma}^\dagger c_{\mathbf{k}\sigma} A_{\mathbf{q}\lambda}.$$

因为声子哈密顿量 H_{ph} 并不依赖时间, 可以利用式(11.7)来定义虚时相互作用绘景的 $\hat{A}_{\mathbf{q}\lambda}(\tau)$

⑨(17.3)

$$\hat{A}_{\mathbf{q}\lambda}(\tau) \equiv e^{\tau H_{\text{ph}}} A_{\mathbf{q}\lambda} e^{-\tau H_{\text{ph}}}.$$

这一表达式在巨正则系综下也是有效的, 此时相关哈密顿量为 $H_{\text{ph}} - \mu N$, 但由于声子的数量不守恒, 通过对自由能取极小值会得知化学势一定为零, $\partial F / \partial N \equiv \mu = 0$.

单声子松原格林函数

有了这个虚时类玻色算符, 可以根据式(11.20)定义对应的自由声子玻色松原格林函数 $\mathcal{D}_\lambda^0(\mathbf{q}, \tau)$

$$\mathcal{D}_\lambda^0(\mathbf{q}, \tau) \equiv - \left\langle T_\tau \hat{A}_{\mathbf{q}\lambda}(\tau) \hat{A}_{\mathbf{q}\lambda}^\dagger(0) \right\rangle_0 = - \left\langle T_\tau \hat{A}_{\mathbf{q}\lambda}(\tau) \hat{A}_{-\mathbf{q}\lambda}(0) \right\rangle_0,$$

其中 T_τ 是玻色时序算符(11.21), 交换算符 $c_{\mathbf{q}\lambda}$ 和 $c_{\mathbf{q}\lambda}^\dagger$ 不出符号. 根据式(11.28)变换到频域有

$$\mathcal{D}_\lambda^0(\mathbf{q}, iq_n) \equiv \int_0^\beta d\tau e^{iq_n \tau} \mathcal{D}_\lambda^0(\mathbf{q}, \tau), \quad q_n = \frac{2\pi}{\beta} n$$

$\mathcal{D}_\lambda^0(\mathbf{q}, \tau)$ 和 $\mathcal{D}_\lambda^0(\mathbf{q}, iq_n)$ 的具体形式可以通过11.3.1节中的玻色子结果得到, 做符号替换 $(\nu, \xi_\nu, c_\nu) \rightarrow (\mathbf{q}\lambda, \Omega_{\mathbf{q}\lambda}, c_{\mathbf{q}\lambda})$ 即可.

- 时域自由声子格林函数: 根据(11.39)的推导, 有类似的

$$\begin{aligned} \langle T_\tau A_{\mathbf{q}\lambda}(\tau) A_{\mathbf{q}\lambda}^\dagger(0) \rangle &= \langle T_\tau (b_{\mathbf{q}\lambda}(\tau) + b_{-\mathbf{q}\lambda}^\dagger(\tau)) (b_{\mathbf{q}\lambda}^\dagger(0) + b_{-\mathbf{q}\lambda}(0)) \rangle \\ &= \langle T_\tau b_{\mathbf{q}\lambda}(\tau) b_{\mathbf{q}\lambda}^\dagger(0) \rangle + \langle T_\tau b_{-\mathbf{q}\lambda}^\dagger(\tau) b_{-\mathbf{q}\lambda}(0) \rangle \\ &= \begin{cases} \langle b_{\mathbf{q}\lambda}(\tau) b_{\mathbf{q}\lambda}^\dagger(0) \rangle + \langle b_{-\mathbf{q}\lambda}^\dagger(\tau) b_{-\mathbf{q}\lambda}(0) \rangle & \tau > 0 \\ \langle b_{\mathbf{q}\lambda}^\dagger(0) b_{\mathbf{q}\lambda}(\tau) \rangle + \langle b_{-\mathbf{q}\lambda}(0) b_{-\mathbf{q}\lambda}^\dagger(\tau) \rangle & \tau < 0 \end{cases} \\ &= \begin{cases} \langle b_{\mathbf{q}\lambda} b_{\mathbf{q}\lambda}^\dagger \rangle e^{-\Omega_{\mathbf{q}\lambda} \tau} + \langle b_{-\mathbf{q}\lambda}^\dagger b_{-\mathbf{q}\lambda} \rangle e^{\Omega_{\mathbf{q}\lambda} \tau} & \tau > 0 \\ \langle b_{\mathbf{q}\lambda}^\dagger b_{\mathbf{q}\lambda} \rangle e^{-\Omega_{\mathbf{q}\lambda} \tau} + \langle b_{-\mathbf{q}\lambda} b_{-\mathbf{q}\lambda}^\dagger \rangle e^{\Omega_{\mathbf{q}\lambda} \tau} & \tau < 0 \end{cases} \end{aligned}$$

最后再利用 $\langle b_{\mathbf{q}\lambda}^\dagger b_{\mathbf{q}\lambda} \rangle = n_B(\Omega_{\mathbf{q}\lambda})$ 和 $\Omega_{-\mathbf{q}\lambda} = \Omega_{\mathbf{q}\lambda}$ 即得到

$$\mathcal{D}_\lambda^0(\mathbf{q}, \tau) = \begin{cases} -[n_B(\Omega_{\mathbf{q}\lambda}) + 1] e^{-\Omega_{\mathbf{q}\lambda} \tau} - n_B(\Omega_{\mathbf{q}\lambda}) e^{\Omega_{\mathbf{q}\lambda} \tau}, & \text{for } \tau > 0, \\ -n_B(\Omega_{\mathbf{q}\lambda}) e^{-\Omega_{\mathbf{q}\lambda} \tau} - [n_B(\Omega_{\mathbf{q}\lambda}) + 1] e^{\Omega_{\mathbf{q}\lambda} \tau}, & \text{for } \tau < 0 \end{cases}$$

- 频域自由声子格林函数: 仿照(11.43)进行推导得到

$$\mathcal{D}_\lambda^0(\mathbf{q}, iq_n) = \frac{1}{iq_n - \Omega_{\mathbf{q}\lambda}} - \frac{1}{iq_n + \Omega_{\mathbf{q}\lambda}} = \frac{2\Omega_{\mathbf{q}\lambda}}{(iq_n)^2 - (\Omega_{\mathbf{q}\lambda})^2},$$

其中利用了 $n_B(\Omega_{\mathbf{q}\lambda}) = 1/[\exp(\beta\Omega_{\mathbf{q}\lambda}) - 1]$.

17.2 电声相互作用和费曼图

下面, 我们利用费曼图来对电声相互作用进行微扰处理. 这一节中, 我们先不考虑电子-电子相互作用. 非微扰哈密顿量是自由电子哈密顿量 H_{el} 和自由声子哈密顿量 H_{ph} 之和

⑨(17.8)

$$H_0 = H_{\text{el}} + H_{\text{ph}} = \sum_{\mathbf{k}\sigma} \varepsilon_{\mathbf{k}} c_{\mathbf{k}\sigma}^\dagger c_{\mathbf{k}\sigma} + \sum_{\mathbf{q}\lambda} \Omega_{\mathbf{q}\lambda} \left(b_{\mathbf{q}\lambda}^\dagger b_{\mathbf{q}\lambda} + \frac{1}{2} \right).$$

当只考虑 H_0 的时候, 电子自由度和声子自由度是完全解耦的, 如式(1.106)所示, 基矢是由两个子空间中的Fock态简单外积而成

⑨(17.9)

$$|\Psi_{\text{basis}}\rangle = |n_{\mathbf{k}_1\sigma_1}, n_{\mathbf{k}_2\sigma_2}, \dots\rangle |N_{\mathbf{q}_1\lambda_1}, N_{\mathbf{q}_2\lambda_2}, \dots\rangle$$

进一步考虑式(17.2b)中的相互作用 $H_{\text{el-ph}}$, 基矢会有什么变化? 我们首先对单电子格林函数 $\mathcal{G}_\sigma(\mathbf{k}, \tau)$ 进行计算. 和式(13.8)类似, 我们在相互作用表象下讨论, 但变换到动量空间, 将那边的两粒子相互作用哈密顿量 $\hat{W}(\tau)$ 替换为电声相互作用 $\hat{P}(\tau)$

⑨(17.10)

$$\mathcal{G}_\sigma(\mathbf{k}, \tau) = - \frac{\sum_{m=0}^{\infty} \frac{(-1)^m}{m!} \int_0^\beta d\tau_1 \dots \int_0^\beta d\tau_m \left\langle T_\tau \hat{P}(\tau_1) \dots \hat{P}(\tau_m) \hat{c}_{\mathbf{k}\sigma}(\tau) \hat{c}_{\mathbf{k}\sigma}^\dagger(0) \right\rangle_0}{\sum_{m=0}^{\infty} \frac{(-1)^m}{m!} \int_0^\beta d\tau_1 \dots \int_0^\beta d\tau_m \left\langle T_\tau \hat{P}(\tau_1) \dots \hat{P}(\tau_m) \right\rangle_0},$$

其中的 $\hat{W}(\tau)$ -积分(见式(13.9))由 $\hat{P}(\tau)$ -积分代替了,

⑨(17.11)

$$\int_0^\beta d\tau_j \hat{P}(\tau_j) = \frac{1}{V} \int d\tau_j \sum_{\mathbf{k}\sigma} \sum_{\mathbf{q}\lambda} g_{\mathbf{q}\lambda} \hat{c}_{\mathbf{k}+\mathbf{q},\sigma}^\dagger(\tau_j) \hat{c}_{\mathbf{k}\sigma}(\tau_j) \hat{A}_{\mathbf{q}\lambda}(\tau_j)$$

式(13.8)和式(17.10)中的两个单粒子电子格林函数看上去非常不同, 因为 $\hat{W}(\tau)$ 包含了四个电子算符, 而 $\hat{P}(\tau)$ 只包含了两个. 然而, 我们会看到两者是非常相似的. 因为现在式(17.10)等号右边中的热平均都是 with respect to 自由哈密顿量 H_0 , 电子和声子自由度是解耦的, 这使得比如说分母中的 m 阶项热平均可以写成声子和电子热平均的乘积

⑨(17.12)

$$\begin{aligned} & \left\langle T_\tau \hat{A}_{\mathbf{q}_1\lambda_1}(\tau_1) \dots \hat{A}_{\mathbf{q}_m\lambda_m}(\tau_m) \hat{c}_{\mathbf{k}_1+\mathbf{q}_1\sigma_1}^\dagger(\tau_1) \hat{c}_{\mathbf{k}_1\sigma_1}(\tau_1) \dots \hat{c}_{\mathbf{k}_m+\mathbf{q}_m\sigma_m}^\dagger(\tau_m) \hat{c}_{\mathbf{k}_m\sigma_m}(\tau_m) \right\rangle_0 = \\ & \left\langle T_\tau \hat{A}_{\mathbf{q}_1\lambda_1}(\tau_1) \dots \hat{A}_{\mathbf{q}_m\lambda_m}(\tau_m) \right\rangle_0 \left\langle T_\tau \hat{c}_{\mathbf{k}_1+\mathbf{q}_1\sigma_1}^\dagger(\tau_1) \hat{c}_{\mathbf{k}_1\sigma_1}(\tau_1) \dots \hat{c}_{\mathbf{k}_m+\mathbf{q}_m\sigma_m}^\dagger(\tau_m) \hat{c}_{\mathbf{k}_m\sigma_m}(\tau_m) \right\rangle_0. \end{aligned}$$

根据式(17.1), 可以知道只有偶数数量的声子算符会带来非零的平衡态热平均, 因此可以定义新的求和指标 n 为 $m = 2n$,

Ⓝ(17.10a)

$$\mathcal{G}_\sigma(\mathbf{k}, \tau) = - \frac{\sum_{n=0}^{\infty} \frac{(-1)^{2n}}{(2n)!} \int_0^\beta d\tau_1 \dots \int_0^\beta d\tau_{2n} \left\langle T_\tau \hat{P}(\tau_1) \dots \hat{P}(\tau_{2n}) \hat{c}_{\mathbf{k}\sigma}(\tau) \hat{c}_{\mathbf{k}\sigma}^\dagger(0) \right\rangle_0}{\sum_{n=0}^{\infty} \frac{(-1)^{2n}}{(2n)!} \int_0^\beta d\tau_1 \dots \int_0^\beta d\tau_{2n} \left\langle T_\tau \hat{P}(\tau_1) \dots \hat{P}(\tau_{2n}) \right\rangle_0}$$

下一步, 利用玻色算符的 Wick 定理(11.82), 这一 n -粒子声子格林函数($2n$ 个声子算符期望值)会变成 n 个单粒子声子格林函数的乘积, 每个单粒子声子格林函数具有如下形式

Ⓝ(17.13)

$$\begin{aligned} g_{\mathbf{q}_i \lambda_i} g_{\mathbf{q}_j \lambda_j} \left\langle T_\tau \hat{A}_{\mathbf{q}_i \lambda_i}(\tau_i) \hat{A}_{\mathbf{q}_j \lambda_j}(\tau_j) \right\rangle_0 \\ = |g_{\mathbf{q}_i \lambda_i}|^2 \left\langle T_\tau \hat{A}_{\mathbf{q}_i \lambda_i}(\tau_i) \hat{A}_{-\mathbf{q}_i \lambda_i}(\tau_j) \right\rangle_0 \delta_{\mathbf{q}_j - \mathbf{q}_i} \delta_{\lambda_i \lambda_j} \\ = - |g_{\mathbf{q}_i \lambda_i}|^2 \mathcal{D}_\lambda^0(\mathbf{q}_i, \tau_i - \tau_j) \delta_{\mathbf{q}_j - \mathbf{q}_i} \delta_{\lambda_i \lambda_j} \end{aligned}$$

热平均迫使配对动量必须相加为零, 因为 $\hat{A}_{\mathbf{q}_j \lambda_j}(\tau_j) = \hat{A}_{-\mathbf{q}_j \lambda_j}^\dagger(\tau_j)$; 且两个声子也必须是相同支的. 这两个 δ 符号使得最终的 $2n$ 个 \hat{P} 积分带来的 $2n$ 个 $\sum_{\mathbf{q}\lambda}$ 积分只有 n 个留了下来. 现在我们重新定义 $\hat{P}(\tau)$ 积分为如下的有效双粒子相互作用算符:

Ⓝ(17.15)

$$\begin{aligned} \int_0^\beta d\tau_i \hat{P}(\tau_i) &= \int_0^\beta d\tau_i \int_0^\beta d\tau_j \sum_{\mathbf{k}_1 \sigma_1} \sum_{\mathbf{k}_2 \sigma_2} \sum_{\mathbf{q} \lambda} \frac{1}{2\mathcal{V}^2} |g_{\mathbf{q}\lambda}|^2 \mathcal{D}_\lambda^0(\mathbf{q}, \tau_i - \tau_j) \\ &\quad \times \hat{c}_{\mathbf{k}_1 + \mathbf{q}, \sigma_1}^\dagger(\tau_j) \hat{c}_{\mathbf{k}_2 - \mathbf{q}, \sigma_2}^\dagger(\tau_i) \hat{c}_{\mathbf{k}_2 \sigma_2}(\tau_i) \hat{c}_{\mathbf{k}_1 \sigma_1}(\tau_j) \end{aligned}$$

这是两个 $\hat{P}(\tau)$ 积分的合并结果, 其中已经对声子自由度取好了热平均; 注意与式(17.13)相比, 其中引入了库伦相互作用标志性的重复计数系数 $\frac{1}{2}$, 并且抹去了符号 (-1) , 后面会对其进行说明. 单电子格林函数则变为

Ⓝ(17.14)

$$\mathcal{G}_\sigma(\mathbf{k}, \tau) = - \frac{\sum_{n=0}^{\infty} \frac{(-1)^n}{n!} \int_0^\beta d\tau_1 \dots \int_0^\beta d\tau_n \left\langle T_\tau \hat{P}(\tau_1) \dots \hat{P}(\tau_n) \hat{c}_{\mathbf{k}\sigma}(\tau) \hat{c}_{\mathbf{k}\sigma}^\dagger(0) \right\rangle_0}{\sum_{n=0}^{\infty} \frac{(-1)^n}{n!} \int_0^\beta d\tau_1 \dots \int_0^\beta d\tau_n \left\langle T_\tau \hat{P}(\tau_1) \dots \hat{P}(\tau_n) \right\rangle_0},$$

• |组合系数的确定: 原先式(17.10a)中的因子 $(-1)^{2n}/(2n)! = 1/(2n)!$ 按照如下步骤进行修正

- 首先是 n 个(17.13)式会出来 n 个负号, 这就得到了所需的符号因子 $(-1)^n$.
- 在对式(17.10a)应用Wick定理(11.82)的时候, 注意到这 $2n$ 个 $\hat{P}(\tau_j)$ 积分都是全同的, 因此将其缩并为 n 个(17.13)式子, 有 $(2n)!/n!2^n$ 种完全等价的缩并方式.

- 一种数的方式是不断从 $2n$ 个里面挑出两个,但是要除以这 n 对的排列数

$$\frac{C_{2n}^2 C_{2n-2}^2 \cdots C_2^2}{n!} = \frac{1}{n!} \frac{(2n)!}{2! (2n-2)!} \frac{(2n-2)!}{2! (2n-4)!} \cdots \frac{2!}{2!} = \frac{(2n)!}{n! 2^n}$$

注意到Wick定理积和式(11.82)的项数其实只有 $(n)!$ 项,而上面这个组合数显然是大于 $n!$ 的,额外的自由度是来源于声子算符的产生算符和湮灭算符是一回事,缩并的时候还得先选出 n 个作为产生算符.

- 另外一种数的方式: 从其中选择 n 个作为独立动量, 会有组合系数 $C_{2n}^n = (2n)!/(n!n!)$; 接着, 要将剩下的 n 个动量与前面的 n 个独立动量两两组合就会有一个因子 $n!/2^n$.

- 最终的组合因子是 $\frac{1}{n!} \left(-\frac{1}{2}\right)^n$, 其中的 $(1/2)^n$ 分配给 n 个有效相互作用 $\hat{\mathcal{P}}(\tau_j)$ 积分.

- 从上面的有效相互作用算符(17.15), 我们发现声子诱导了一种新型的电子-电子相互作用

$V_{\text{el-el}}^{\text{ph}}$


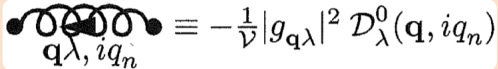
①(17.16)

$$V_{\text{el-el}}^{\text{ph}} = \frac{1}{2V} \sum_{\mathbf{k}_1 \sigma_1} \sum_{\mathbf{k}_2 \sigma_2} \sum_{\mathbf{q} \lambda} \frac{1}{V} |g_{\mathbf{q} \lambda}|^2 \mathcal{D}_{\lambda}^0(\mathbf{q}, \tau_i - \tau_j) \hat{c}_{\mathbf{k}_1 + \mathbf{q}, \sigma_1}^{\dagger}(\tau_j) \hat{c}_{\mathbf{k}_2 - \mathbf{q}, \sigma_2}^{\dagger}(\tau_i) \hat{c}_{\mathbf{k}_2 \sigma_2}(\tau_i) \hat{c}_{\mathbf{k}_1 \sigma_1}(\tau_j)$$

将声子诱导有效相互作用算符和库伦相互作用算符(2.34)对比, 可以看到它们非常类似, 唯一的不同在于时间依赖性方面.

- 库伦相互作用在时间上是**瞬时的(instantaneous)**或者说**局域的(local)**,
- 而声子诱导相互作用是**推迟的(retarded)**, 即在时间上**非瞬时(非局域, non-local)**, 不管是算符上的 τ_i 和 τ_j 之分, 还是耦合强度的表达式 $(1/V) |g_{\mathbf{q} \lambda}|^2 \mathcal{D}_{\lambda}^0(\mathbf{q}, \tau_i - \tau_j)$, 都反应了这一点.

基于电声相互作用最终改写成的声子诱导有效电子-电子相互作用形式, 可以仿照库伦相互作用情形的费曼规则(13.27)得到电声相互作用的动量空间费曼图形规则

- (1) 带有4-动量指向的费米子线:  $\equiv \mathcal{G}_{\sigma}^0(\mathbf{k}, i k_n)$
- (2) 带有4-动量指向的声子线(Phonon lines):  $\equiv -\frac{1}{V} |g_{\mathbf{q} \lambda}|^2 \mathcal{D}_{\lambda}^0(\mathbf{q}, i q_n)$
- (3) 顶点处保持自旋和4-动量的守恒, 入射动量一定要和出射动量相等.
- (4) 对于第 n 阶, 画出所有拓扑不同的连通图, 包含了 n 条有向声子线 $-\frac{1}{V} |g_{\mathbf{q} \lambda}|^2 \mathcal{D}_{\lambda}^0(\mathbf{q}, i q_n)$, 2条外部费米子线 $\mathcal{G}_{\sigma}^0(\mathbf{k}, i k_n)$, 和 $2n - 1$ 条内部费米子线 $\mathcal{G}_{\sigma}^0(\mathbf{p}_j, i p_j)$, 共有 $2n + 1$ 条费米子线. 所有顶点都必须包含一进一出两个费米子线, 以及一条声子线.

- |(5) 每一张图乘上符号 $(-1)^F$, F 是费米子环的数量.
- |(6) 对于每个内部4-动量 \tilde{p} 乘上归一化因子 $\frac{1}{\beta V}$, 然后开展求和 $\sum_{\tilde{p}\sigma'\lambda}$.

其中最大的区别就在于没有了等时格林函数的烦恼.